

Myocarditis imitating acute coronary syndrome confirmed by cardiac magnetic resonance – a case report

Zapalenie mięśnia sercowego imitujące ostry zespół wieńcowy potwierdzone rezonansem magnetycznym serca – opis przypadku

Łukasz A. Małek^{1,3}, Mariusz Kłopotowski¹, Mateusz Śpiewak^{2,3}, Paweł Bekta¹, Jolanta Miśko³, Adam Witkowski¹

¹ Klinika Kardiologii i Angiologii Interwencyjnej, Instytut Kardiologii, Warszawa

² Klinika Choroby Wieńcowej i Strukturalnych Chorób Serca, Instytut Kardiologii, Warszawa

³ Pracownia Rezonansu Magnetycznego, Zakład Radiologii, Instytut Kardiologii, Warszawa

Post Kardiol Interw 2010; 6, 3 (21): 142-146

DOI: 10.5114/pwki.2010.16357

Streszczenie

Prezentujemy przypadek 59-letniego pacjenta z zapaleniem mięśnia sercowego przypominającym ostry zespół wieńcowy z uniesieniem odcinka ST, u którego rozpoznanie choroby zostało ustalone na podstawie badania rezonansu magnetycznego serca.

Słowa kluczowe: zapalenie mięśnia sercowego, ostry zespół wieńcowy, rezonans magnetyczny serca

Abstract

We present a case of a 59-year-old male with myocarditis imitating ST-elevation acute coronary syndrome in whom final diagnosis was made with the use of cardiac magnetic resonance.

Key words: myocarditis, acute coronary syndrome, cardiac magnetic resonance

Wprowadzenie

U części pacjentów kierowanych do pracowni hemodynamiki w trybie dyżurowym z rozpoznaniem ostrego zespołu wieńcowego z uniesieniem odcinka ST nie stwierdza się obecności istotnych zmian miażdżycowych w tętnicach wieńcowych [1, 2]. W takim wypadku diagnostyka różnicowa obejmuje kilka jednostek chorobowych, w tym dławicę odmienną, zespół balotującego koniuszka i zespół Brugadów. Najczęstszą przyczyną opisanego obrazu klinicznego jest jednak zapalenie mięśnia sercowego i/lub osierdzia. Rezonans magnetyczny serca z zastosowaniem środka kontrastowego umożliwia dokładną charakterystykę miokardium, w tym ocenę, czy uszkodzenie mięśnia ma etiologię niedokrwienną czy też inną [3, 4]. Przedstawiamy przypadek dotyczący chorego z zapaleniem mięśnia sercowego, który został przyjęty do szpitala z rozpoznaniem wstępnym ostrego zespołu wieńcowego z uniesieniem odcinka ST. Na podstawie badania rezonansu

magnetycznego serca zmieniono pierwotne rozpoznanie oraz wysunięto podejrzenie odnośnie do wirusa odpowiedzialnego za chorobę.

Opis przypadku

Mężczyzna 59-letni został przyjęty do Instytutu Kardiologii w trybie dyżurowym z rozpoznaniem ostrego zespołu wieńcowego, w 3. godz. bólu w klatce piersiowej. W EKG obserwowano uniesienie odcinka ST w sąsiadujących odprzewodzeniach znad ściany dolnej (II, aVF) oraz w odprzewodzeniach znad ściany bocznej (I, V₅-V₆) (ryc. 1. A). Do momentu przyjęcia pacjent, palacz papierosów, nie miał wywiadu chorób sercowo-naczyniowych, nie leczył się też przewlekle. Od 3 dni poprzedzających przyjęcie uskarżał się na gorączkę do 38,5°C oraz uczucie kołatania serca. Przy przyjęciu chory był stabilny hemodynamicznie. W wykonanej w trybie pilnym koronarografii nie uwidoczniło istotnych zmian w tętnicach wieńcowych ani wyraż-

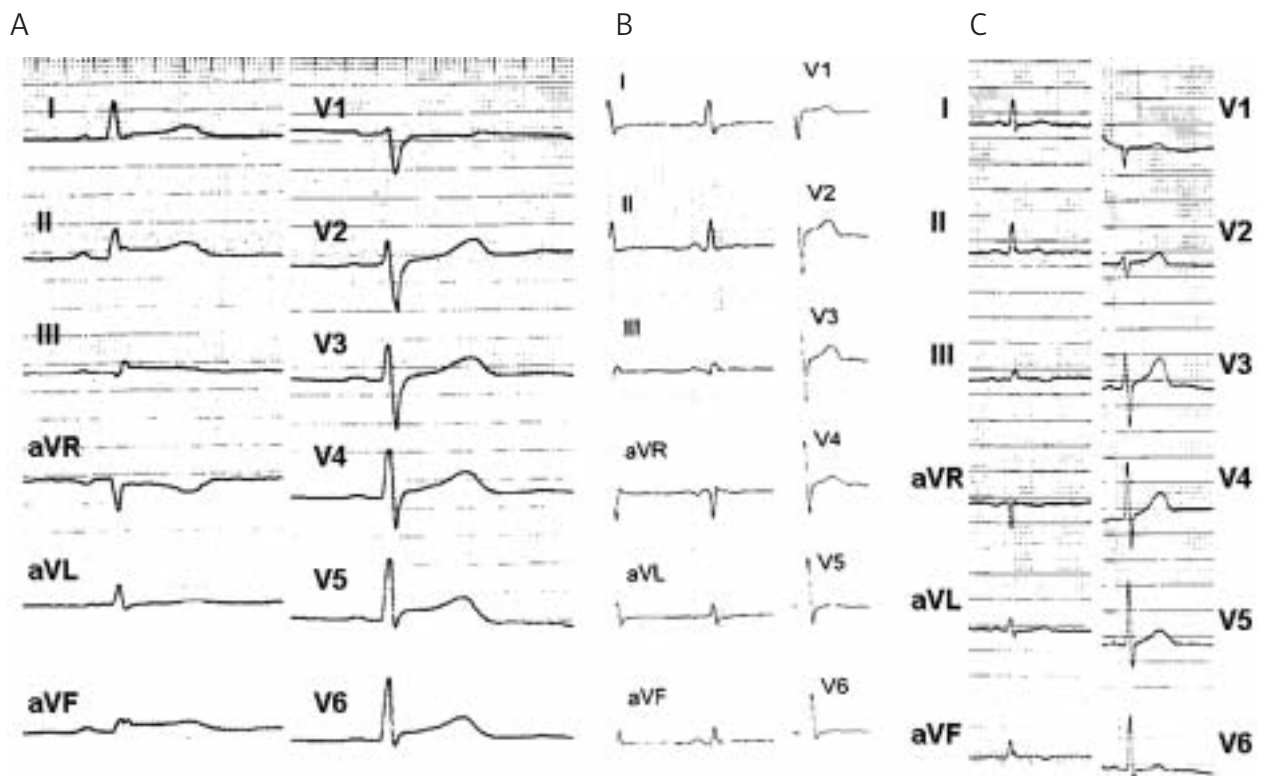
Adres do korespondencji/Corresponding author:

dr n. med. Łukasz A. Małek, Klinika Kardiologii i Angiologii Interwencyjnej, Instytut Kardiologii, ul. Alpejska 42, 04-628 Warszawa, tel.: +48 22 815 30 11, e-mail: lmalek@ikard.pl

Praca wpłynęła 11.08.2010, przyjęta do druku 28.08.2010.

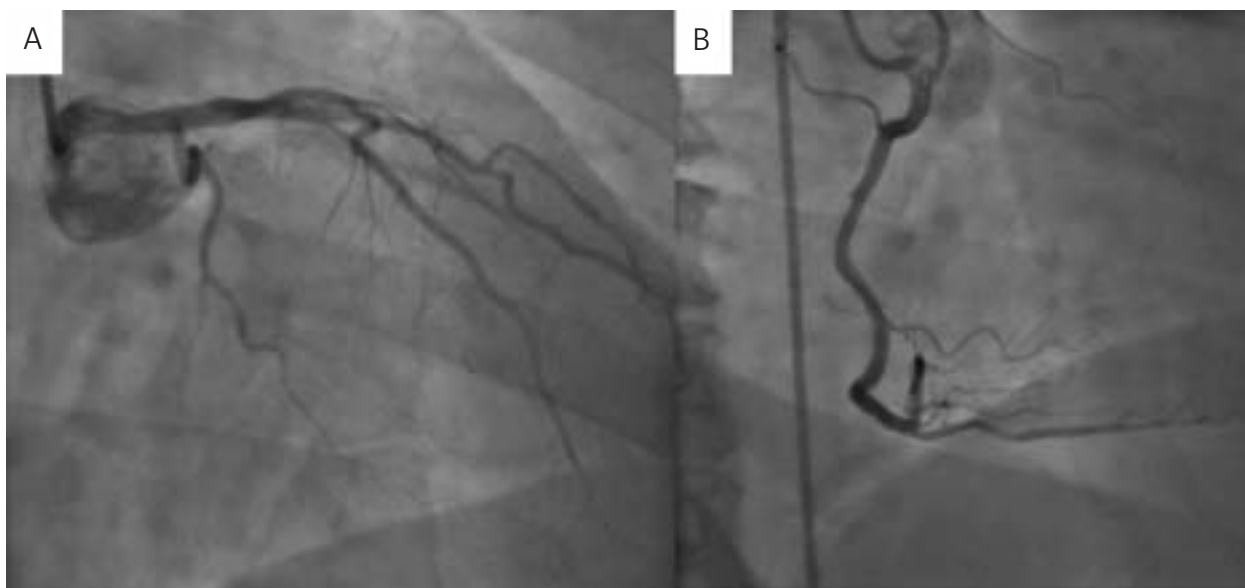
nego ich kurczu (ryc. 2). Ból w klatce piersiowej ustąpił na oddziale intensywnej terapii kardiologicznej w trakcie wlewu nitrogliceryny. Elektrokardiogram po ustąpieniu bólu, z normalizacją zmian odcinka ST przedstawia rycina 1. B. Maksymalne oznaczone stężenie troponiny I wyniosło 11,8 ng/ml (norma do 0,1 ng/ml). W badaniu echokardiograficznym przezklatkowym wykonanym bezpośrednio po koronarografii uwidoczniło hipokinezę ściany dolno-bocznej i nieznaczne obniżenie frakcji wyrzutowej lewej komory (ang. *left ventricular ejection fraction*, LVEF = 50%). Zmian tych nie obserwowano w kontrolnych badaniach echokardiograficznych. W kolejnych dobach występowały stany podgorączkowe, a w badaniach laboratoryjnych stwierdzono zwiększone stężenie białka C-reaktywnego oraz wzrost sedymentacji erytrocytów. Nie wyhodowano jednak bakterii w posiewach krwi. W trakcie hospitalizacji występowały także nawroty bólu dławicowego ze zmianami w EKG o charakterze niedokrwiennym nad ścianą dolno-boczną (ryc. 1. C). Dolegliwości ustępowały po podaniu azotanów. Z uwagi na podejrzenie zapalenia mięśnia sercowego oraz w celu różnicowania z dławicą odmienną wykonano rezonans magnetyczny serca. W badaniu uwidoczniło niepowiększoną lewą komorę, brak zaburzeń kurczliwości lewej komory oraz nieznaczne pogrubienie ścian. Na obrazach T2-zależnych stwierdzono

wzmoczoną intensywność sygnału mięśnia sercowego w obrębie segmentów podstawnych i środkowych dolno-bocznych i przednio-bocznych (ryc. 3. A–C), charakterystyczną dla obrzęku miokardium. Na obrazach T1-zależnych w fazie wczesnej po podaniu środka kontrastowego nie wykazano obszarów wzmocnienia sygnału charakterystycznych dla przekrwienia mięśnia sercowego. Ocena w fazie późnej po podaniu środka kontrastowego uwidoczniła ogniska wzmocnienia o charakterze śródmięśniowym i podnasilczowym w segmentach podstawnych i środkowych przednio-bocznym i dolno-bocznym (ryc. 3. D–F i 4.), charakterystyczne dla martwicy lub włóknienia mięśnia o etiologii innej niż niedokrwienna. Całość obrazu rezonansu magnetycznego spełniała kryteria rozpoznania aktywnego zapalenia mięśnia sercowego. Lokalizacja obrzęku oraz ognisk martwicy lub włóknienia były najbardziej typowe dla infekcji parwowirusem B19. Z powodu ustąpienia napadów dławicy oraz niewystępowania cech niewydolności serca nie wykonywano jednak biopsji mięśnia sercowego w celu dalszego potwierdzenia rozpoznania. Zlecono oznaczenie obecności parwowirusa w krwi obwodowej metodą reakcji łańcuchowej polimerazy (ang. *polymerase chain reaction*, PCR) – nie zidentyfikowano materiału wirusa. Nie oznaczono przeciwciał przeciwko wirusowi. Chory został wypisany do domu po włączeniu



Ryc. 1. Elektrokardiogramy pacjenta: **A** – przy przyjęciu; **B** – w trakcie hospitalizacji, zapis bez bólu w klatce piersiowej; **C** – w trakcie hospitalizacji, zapis w trakcie nawrotu bólu w klatce piersiowej (opisy w tekście)

Fig. 1. Patient's electrocardiograms: **A** – on admission; **B** – during index hospitalization without chest pain; **C** – during index hospitalization with recurrence of chest pain (see text for descriptions)



Ryc. 2. Obrazy z koronarografii uwidaczniające brak istotnych zmian w tętnicach wieńcowych: **A** – lewa tętnica wieńcowa, projekcja prawa skośna 30°; **B** – prawa tętnica wieńcowa, projekcja prawa skośna 30°

Fig. 2. Images from the coronary angiography showing no significant lesions in coronary arteries: **A** – left coronary artery – right anterior oblique view 30°; **B** – right coronary artery, right anterior oblique view 30°

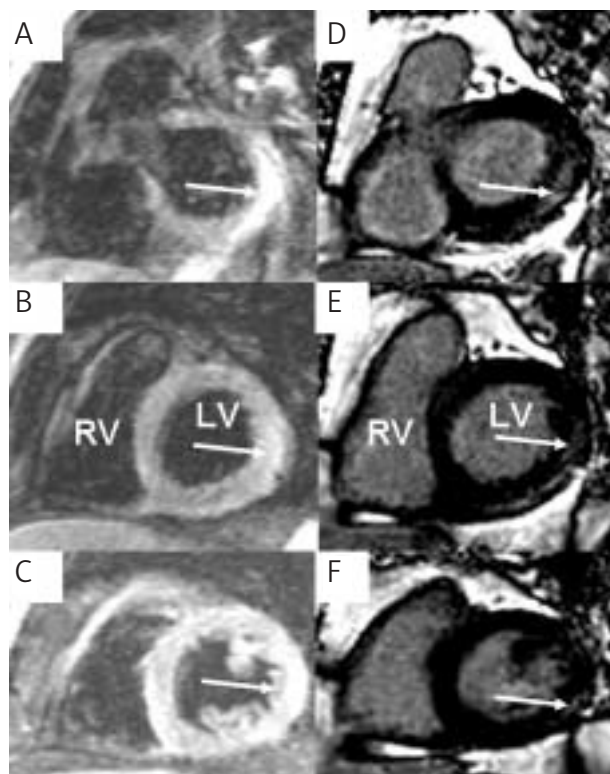
leczenia doustnego antagonistą kanałów wapniowych, azotanem długo działającym oraz inhibitorem konwertazy angiotensyny. Od czasu wypisu nie odnotowano nawrotu dolegliwości dławicowych, a kontrolne badanie echokardiograficzne nie wykazało zaburzeń kurczliwości i powiększenia lewej komory serca.

Omówienie

Zapalenie mięśnia sercowego występuje najczęściej u osób młodszych od typowych pacjentów z zawałem mięśnia sercowego i jest zwykle poprzedzone wywiadem choroby wirusowej. Poza tym objawy zawału serca i zapalenia mięśnia sercowego mogą być bardzo podobne. Konieczne jest zatem zastosowanie badania, które umożliwi skuteczną diagnostykę różnicową. Metodą referencyjną w tym względzie może być rezonans magnetyczny serca [3, 4]. Jego przydatność wynika przede wszystkim z możliwości określenia etiologii uszkodzenia mięśnia sercowego za pomocą analizy późnego wzmocnienia pokontrastowego odpowiadającego ogniskom martwicy lub włóknienia. W przypadku zmian niedokrwiennych martwica ma lokalizację podwiersdriową lub pełnościennej oraz pokrywa się z rejonem unaczynienia tętnicy wieńcowej. Włóknienie mięśnia związane z zapaleniem mięśnia sercowego ma z kolei charakter śródmięśniowy lub podnasierdziowy i nie koresponduje z rejonem unaczynienia tętnicy wieńcowej. Samo określenie lokalizacji zmian martwiczych lub włóknienia mięśnia nie wyczerpuje jednak możliwości diagnostycznych rezonansu magnetycznego. Badanie to umożliwia także ocenę innych procesów zachodzących w tkance

zajętej przez proces zapalny. W zeszłym roku opublikowano kryteria rozpoznawania zapalenia mięśnia sercowego za pomocą rezonansu magnetycznego, w których rozszerzenie badania poza ocenę samego późnego wzmocnienia pokontrastowego pozwala na poprawę skuteczności diagnostycznej o 10% [4]. Do dodatkowych analizowanych zmian należą odcinkowy lub uogólniony obrzęk miokardium (obrazy T2-zależne) oraz przekrwienie miokardium (obrazy T1-zależne w fazie wczesnej po podaniu środka kontrastowego), a stwierdzenie obecności jakichkolwiek 2 z 3 opisanych odchyleń (włączywszy późne wzmocnienie pokontrastowe) pozwala na rozpoznanie choroby z dokładnością wynoszącą 78% [4]. Możliwości diagnostyczne rezonansu są zatem porównywalne z biopsją endomiokardialną, której zastosowanie ze względu na ryzyko groźnych dla życia powikłań zostało w ostatnim okresie znacznie ograniczone [5]. Rezonans magnetyczny serca umożliwia także bardzo dokładną, wolną od ograniczeń okna akustycznego ocenę kurczliwości lewej komory oraz płynu w worku osierdziowym.

Co istotne, rezonans magnetyczny serca może nie tylko doprowadzić do rozpoznania zapalenia mięśnia sercowego, ale także pomóc w ustaleniu przyczyny choroby. Przy zakażeniu parwowirusem B19 zmiany (obrzęk, włóknienie) lokalizują się najczęściej w obrębie segmentów dolno-bocznych lewej komory [6–8]. Zaproponowano hipotezę, zgodnie z którą do zakażenia mięśnia sercowego tym patogenem może dochodzić przez ciągłość ze strony osierdzia ściennego, do którego najściślej przylegają właśnie segmenty dolno-boczne lewej komory [6]. Powyższą lokaliza-

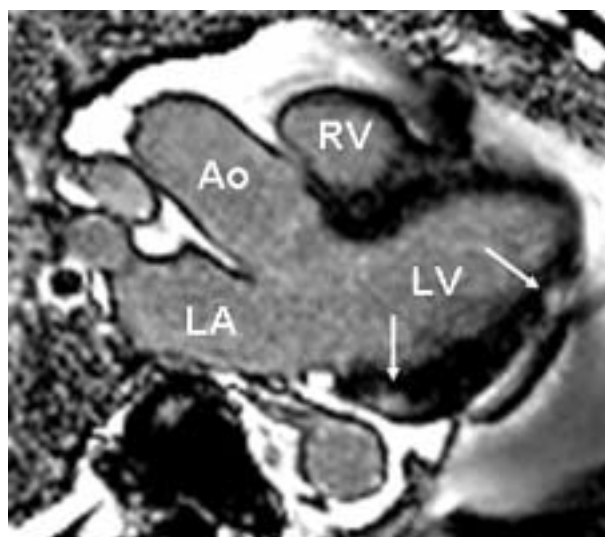


Ryc. 3. Rezonans magnetyczny serca – obrazy T2-zależne (A–C) oraz obrazy późnego wzmocnienia pokontrastowego (D–F) w osi krótkiej od segmentów podstawnych do środkowych (od góry do dołu). Białe strzałki wskazują odpowiednio obszar obrzęku mięśnia (A–C) oraz późnego wzmocnienia pokontrastowego (D–F) – szczegóły w tekście
LV – lewa komora, RV – prawa komora

Fig. 3. Cardiac magnetic resonance – T2-weighted images (A–C) and images showing late gadolinium enhancement (D–F) in the short axis of the basal and midventricular segments (from top to bottom). White arrows point at the areas of myocardial oedema (A–C) or late gadolinium enhancement (D–F) – see text for details

LV – left ventricle, RV – right ventricle

cję zmian w miokardium stwierdzono w prezentowanym przypadku, co budzi podejrzenie infekcji właśnie parwowirusem B19, mimo niewykazania obecności wirusa w badaniu krwi. Ze względu na stabilny stan chorego i pomyślny przebieg kliniczny nie wykonywano bowiem biopsji endomiokardialnej i oceny pod kątem obecności wirusa w bioptacie, która cechuje się znacznie większą czułością od poszukiwania genomu wirusa we krwi obwodowej [9]. Podejrzenie infekcji parwowirusem B19 wynika także z całości obrazu klinicznego, ponieważ to właśnie infekcja tym patogenem najczęściej imituje ostry zespół wieńcowy. Powodem zgłoszenia się chorych do szpitala jest najczęściej ból w klatce piersiowej ze zmianami w EKG



Ryc. 4. Rezonans magnetyczny serca w projekcji trójjamowej uwidaczniający podnasierdziowe obszary późnego wzmocnienia pokontrastowego w segmentach podstawnym i środkowym/koniuszkowym dolno-bocznym (białe strzałki)

Ao – aorta, LA – lewy przedsionek, LV – lewa komora, RV – prawa komora

Fig. 4. Cardiac magnetic resonance in 3-chamber view showing subepicardial areas of late gadolinium enhancement in the basal and midventricular/apical infero-lateral segments (white arrows)

Ao – aorta, LA – left atrium, LV – left ventricle, RV – right ventricle

w postaci uniesienia odcinka ST (najczęściej w odprowadzeniach znad ściany dolnej) lub znacznie rzadziej odwrócenia załamków T [7]. Wy tłumaczeniem dla obecności objawów dławicowych oraz uniesienia odcinka ST jest zajmowanie przez parwowirusa B19 komórek śródbłonna, a nie samych kardiomiocytów. Powoduje to dysfunkcję śródbłonna, szczególnie w obrębie mikrokrążenia wieńcowego. Objawy dławicowe wynikają zatem ze skurczu tętnic wieńcowych. W jednym z badań wykazano, że u 4 na 6 pacjentów z zapaleniem mięśnia sercowego o etiologii parwowirusowej można było wywołać skurcz tętnic wieńcowych w teście z ergonowiną [6]. Przyczyna trwałego uszkodzenia miokardium w zapaleniu mięśnia sercowego jest jednak inna – jest nią migracja komórek zapalnych do przestrzeni międzykomórkowej, co stymuluje procesy martwicy i włóknienia mięśnia [5]. Lokalizacja zmian nie koresponduje zatem z obszarem unaczynienia tętnic wieńcowych i nie odpowiada zmianom niedokrwiennym (brak zajęcia obszaru podśierdziowego). Charakterystyczne dla infekcji parwowirusem jest także nawracanie dolegliwości dławicowych w pierwszych tygodniach choroby. Poza tym, jak w opisywanym przypadku, przebieg choroby jest najczęściej łagodny, a zajęcie mięśnia sercowego przez wirusa ma zwykle charakter regionalny i nie powoduje znacznego obniżenia czynności skurczowej lewej komory [5, 6].

Piśmiennictwo

1. Mazurkiewicz L, Bilinska ZT, Kruk M i wsp. Baseline clinical characteristics and midterm prognosis of STE-ACS and NSTEMI-ACS patients with normal coronary arteries. *Ann Noninvasive Electrocardiol* 2009; 14: 4-12.
2. Noll D, Suchcicki W, Karwowski D i wsp. Zawał serca z przejściowym uniesieniem odcinka ST jako kliniczna manifestacja anginy Prinzmetala u pacjentów z wyjściowo nieistotnymi hemodynamicznie zmianami w tętnicach wieńcowych. *Opisy przypadków. Post Kardiol Interw* 2010; 6: 38-46.
3. Petryka J, Miśko J, Małek ŁA i wsp. Zastosowanie rezonansu magnetycznego w diagnostyce zapalenia mięśnia sercowego. *Kardiol Pol* 2010; 68: 824-829.
4. Friedrich MG, Sechtem U, Schulz-Menger J i wsp. Cardiovascular magnetic resonance in myocarditis: a JACC white paper. *J Am Coll Cardiol* 2009; 53: 1475-1487.
5. Cooper LT, Baughman KL, Feldman AM i wsp. American Heart Association; American College of Cardiology; European Society of Cardiology. The role of endomyocardial biopsy in the management of cardiovascular disease: a scientific statement from the American Heart Association, the American College of Cardiology, and the European Society of Cardiology. *Circulation* 2007; 116: 2216-2233.
6. Mahrholdt H, Wagner A, Deluigi CC i wsp. Presentation, patterns of myocardial damage, and clinical course of viral myocarditis. *Circulation* 2006; 114: 1581-1590.
7. Kühl U, Pauschinger M, Bock T i wsp. Parvovirus B19 infection mimicking acute myocardial infarction. *Circulation* 2003; 108: 945-950.
8. Basic D, Gupta S, Kwong RY. Parvovirus B19-induced myocarditis mimicking acute myocardial infarction: clarification of diagnosis by cardiac magnetic resonance imaging. *Circulation* 2010; 121: e40-42.
9. Lindner J, Noutsias M, Lassner D i wsp. Adaptive immune responses against parvovirus B19 in patients with myocardial infarction. *J Clin Virol* 2009; 44: 27-32.